

# ВЫСОКОМОЛЕКУЛЯРНЫЕ

Том (A) XVI

## СОЕДИНЕНИЯ

№ 7

1974

УДК 541(64+28):547.322

### РАДИАЦИОННАЯ НИЗКОТЕМПЕРАТУРНАЯ ПОЛИМЕРИЗАЦИЯ ВИНИЛХЛОРИДА В СТЕКЛООБРАЗНЫХ ПАРАФИНОВЫХ МАТРИЦАХ

*Г. Н. Герасимов, А. Д. Смирнов, Т. М. Сабирова,  
А. Д. Абкин*

Измерены потери энергии при колебаниях пьезоэлектрического излучателя ультразвуковых волн в стеклах, образованных вазелиновым маслом (ВМ) и смесью ВМ – винилхлорид (ВХ). Показано, что под действием  $\gamma$ -излучения ВХ полимеризуется при  $-196^\circ$  в матрице из ВМ (длиноцепочечные парафины). В стекле на основе низкомолекулярных парафинов полимеризация не протекает. Изучена зависимость скорости звука от температуры в жидком ВМ и смеси ВМ с ВХ. Обнаружено, что исследованные жидкости в отличие от жидких низкомолекулярных углеводородов имеют микрогетерогенное строение и состоят из упорядоченных элементов в неупорядоченной среде. Увеличение содержания мономера в матрице из длиноцепочечных парафинов приводит к разрушению упорядоченных элементов матрицы. На основе полученных данных предложена и обоснована схема радиационной полимеризации ВХ в парафиновых матрицах, согласно которой рост полимерных цепей протекает в области протяженных дефектов стекла на границе между упорядоченными элементами типа пачек и неупорядоченной средой. Движение молекул мономера в области таких дефектов является ориентированным и определяется направлением парафиновых цепей пачки, что создает особо благоприятные условия для роста полимерных цепей.

В работах Шапиро с сотр. [1, 2] показано, что многие мономеры, не полимеризующиеся под действием  $\gamma$ -излучения в кристаллическом состоянии, превращаются в полимер при облучении застеклованных смесей мономера с длиноцепочечными парафинами. Считалось, что рост полимерных цепей протекает в каплях мономера, диспергированного в твердой матрице [3]; однако позже было установлено, что полимеризация развивается в стекле, представляющем собой истинный раствор мономера в матрице [4, 5]. До настоящего времени полимеризацию исследовали только вблизи температуры стеклования  $T_c$  реакционной системы, где скорость реакции достигает максимума. Согласно мнению большинства исследователей, рост цепи в этих условиях протекает так же, как в жидкости, т. е. в результате столкновений молекул мономера, хаотически диффундирующих в неупорядоченной среде, с растущими цепями; увеличение общей скорости реакции по сравнению с обычной жидкофазной полимеризацией объясняли уменьшением скорости обрыва растущих цепей в вязкой среде [5]. Однако такая схема не может объяснить некоторых существенных особенностей процесса (например, существование предельной конверсии при полимеризации в длиноцепочечных матрицах [6]). В работе [7] было показано, что радиационная полимеризация винилхлорида (ВХ) протекает только в матрице из длиноцепочечных парафинов; в стекле на основе низкомолекулярных парафинов полимер не образуется. Была высказана гипотеза, согласно которой на развитие полимеризации в стекле определяющее влияние оказывает надмолекулярная структура стекла; в стеклах из цепочечных молекул надмолекулярными образованиями являются «пачки» молекул матрицы [8], где могут возникать особо благоприятные условия для роста полимерных цепей. Для проверки этой гипотезы было предпринято детальное исследование полимеризации ВХ в парафиновых матрицах.

Данная работа посвящена радиационной полимеризации в парафиновых матрицах при  $-196^\circ$  [9]. В работах [5–7] гравиметрически определяли выход полимера после размораживания стекла, облученного при  $-196^\circ$ ; выделенный полимер представлял собой в основном продукт пост-полиме-

ризации, протекающей вблизи  $T_c$ . Для исследования полимеризации в «жестком стекле» ниже  $T_c$  необходимо наблюдать образование полимера в самой реакционной системе. Такое исследование представляет особый интерес, поскольку в условиях, когда фиксировано расположение молекул системы, наиболее отчетливо проявляется влияние структуры стекла на процесс полимеризации.

### Экспериментальная часть

BX перегоняли в отсутствие воздуха на ректификационной колонне с 20-ю теоретическими тарелками и сушили прокаленной окисью бария. Вазелиновое масло (смесь длиноцепочечных парафинов среднего молекулярного веса ~250) перегоняли в вакууме, пропускали через силикагель для очистки от перекисных соединений, затем удаляли воздух и влагу в вакууме при 100°. Низкомолекулярные парафиновые углеводороды (изопентан и 2,2-диметилбутан) очищали от непредельных соединений конц.  $H_2SO_4$ , промывали водой до нейтральной реакции, сушили хлористым кальцием и перегоняли в атмосфере азота.

Для исследования химических процессов, протекающих в стеклах под действием  $\gamma$ -излучения, использовали тот факт, что электрические параметры пьезоэлектрического излучателя ультразвуковых волн сильно зависят от физико-механических свойств среды, в которой находится излучатель [10]. В частности, активное сопротивление  $R$  излучателя, возбуждаемого на резонансной частоте, определяется выражением

$$R = A + Br, \quad (1)$$

где  $A$  и  $B$  – параметры, зависящие от свойств излучателя, а  $r$  – волновое сопротивление среды [10]. Обычно  $A \ll Br$  [9]. В однородных аморфных средах  $r = \rho C$ , где  $\rho$  – плотность среды, а  $C$  – скорость звука. Как показывали результаты многочисленных исследований [10], накопление в системе низкомолекулярных или высокомолекулярных продуктов приводит к заметному изменению величин  $C$  и  $r$ . Схема измерения величины  $R$  описана в [10]. В качестве излучателей использовали диски из пьезокерамики ПКД-24, измерения проводили с помощью моста высокочастотной проводимости Е-10-5. Для определения фазовых переходов в процессе разогрева (или охлаждения) стекол использовали несколько другую методику. Сначала на излучатель воздействовали электрическими колебаниями с частотой, соответствующей резонансной частоте системы излучатель – стекло при данной температуре. Затем, не меняя частоту и напряжение переменного тока, возбуждающего колебания излучателя, определяли изменение резонансного напряжения  $U$  на излучателе по мере разогрева (или охлаждения) стекла. Величина  $U$  пропорциональна амплитуде колебаний излучателя [10]. К сожалению, как это уже отмечалось в работе [11], в органических стеклах при низких температурах не удалось измерить скорость звука из-за возникновения микротрещин, отражающих звуковые волны. Мы измеряли скорость звука в жидких системах вблизи  $T_c$  для выяснения структуры жидкости, сохраняющейся после стеклования жидкости. Метод измерения подробно описан в [10].

### Результаты и их обсуждение

Изменение напряжения  $U$  на излучателе в процессе охлаждения чистого вазелинового масла (ВМ) и смеси ВМ–BX, содержащей 6 вес.% мономера (рис. 1), характеризует изменение состояния исследованных систем. Перегибы на кривых с выходом на плато отмечают области стеклования жидкостей. Дальнейшее охлаждение не вызывает уже заметных изменений физико-механических свойств стекла и практически не влияет на величину  $U$ . Характерно, что стекло из чистого ВМ при некоторой критической температуре кристаллизуется; кристаллизация сопровождается резким возрастанием  $U$  (рис. 1, а). Наблюдаемые изменения величины  $U$  легко объяснить на основе общей теории колебания пьезоэлектрических излучателей в вязкоупругой среде [10]. При стекловании резко возрастают силы, действующие на излучатель со стороны окружающей среды; в результате уменьшается амплитуда колебаний излучателя и соответственно величина  $U$ . В ходе кристаллизации стекло превращается в смесь слабо связанных между собой мелких кристаллов; связь излучателя со средой уменьшается, что приводит к возрастанию амплитуды колебаний излучателя. Стекло, образующееся из смеси ВМ–BX, является устойчи-

вым вплоть до  $-196^{\circ}$ ; процесс стеклования этой смеси полностью обратим (рис. 1, б). Молекулы мономера, растворенные в ВМ, нарушают связи между молекулами масла и препятствуют построению упорядоченных кристаллитов из парафиновых цепей. Естественно, что такой устойчивости стекла нельзя было бы ожидать для эмульсии мономера в ВМ. Кроме того, в исследованном стекле ВМ–ВХ при охлаждении от  $T_c$  до  $-196^{\circ}$  не наблюдается никаких необратимых изменений величины  $U$  (рис. 1, б).

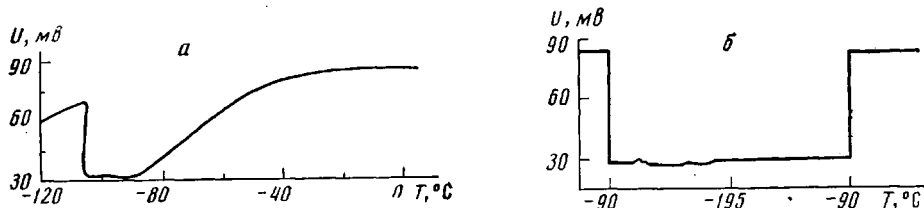


Рис. 1. Зависимость напряжения на излучателе от температуры в ВМ (а) и в смеси ВМ – ВХ (б)

Полученные данные свидетельствуют о том, что стекло ВМ–ВХ, содержащее 6 вес. % мономера, является твердым раствором. То же самое, очевидно, можно сказать о застеклованных смесях ВХ с низкомолекулярными парафинами.

Как видно из таблицы, потери энергии излучателя, которые в основном определяются волновым сопротивлением среды  $r$  (уравнение (1)), заметно увеличиваются в ходе облучения стекла ВМ–ВХ при  $-196^{\circ}$ . Активное сопротивление излучателя  $R$  не меняется после разогрева облученной системы до  $T_c$  и последующего замораживания. Было также показано, что  $R$  в облученных стеклах сохраняется неизменным после высвечивания этих стекол УФ-излучением при  $-196^{\circ}$ . Учитывая, что под действием УФ-излучения гибнут ионы, а в области стеклования – также и радикалы, можно связать наблюдавшееся в ходе  $\gamma$ -облучения изменение  $R$  с образованием в исследуемой системе устойчивых химических соединений. Эти соединения не являются низкомолекулярными продуктами радиолиза, поскольку, как видно из таблицы, введение низкомолекулярных веществ в матрицу из цепных парафиновых молекул приводит к уменьшению  $R$ . Таким образом, увеличение  $R$  в ходе  $\gamma$ -облучения стекол ВМ–ВХ при  $-196^{\circ}$  обусловлено, очевидно, полимеризацией мономера. Известно, что при растворении полиизобутилена в парафиновом масле волновое сопротивление жидкости возрастает [12]. Полимерная цепь фиксирует молекулы матрицы и препятствует их перемещению под действием акустических колебаний. В результате уменьшается сжимаемость, что вызывает соответствующее возрастание скорости звука. В стекле ВХ–ВМ образующиеся под действием  $\gamma$ -излучения полимерные цепи, возможно, представляют собой химические связи между удаленными друг от друга молекулами матрицы. Связь между увеличением  $R$  и процессом полимеризации подтверждается также и тем, что  $R$  для стекол со следами бутадиена – эффективного ингибитора полимеризации ВХ – практически не меняется в ходе  $\gamma$ -облучения при  $-196^{\circ}$  (таблица). Согласно нашим данным, облучение раствора хлористого этила в ВМ при  $-196^{\circ}$  не приводит к сколько-нибудь заметному увеличению величины  $R$  и, следовательно, волнового сопротивления системы.

Обнаруженный факт радиационной полимеризации ВХ в матрице из ВМ при  $-196^{\circ}$  [9] подтверждается результатами калориметрических исследований [4]. Характерной особенностью этой реакции является исключительное влияние на скорость процесса структуры углеводородной матрицы. Согласно данным, приведенным в таблице, полимеризация при  $-196^{\circ}$  не протекает в стекле из низкомолекулярных парафинов (2,2-диме-

тилбутен и изопентан). В работе [4] показано, что скорость радиационной полимеризации BX в BM при  $-196^{\circ}$  резко уменьшается с увеличением концентрации мономера от 10 до 20 вес. %. Как указывалось выше, введение мономера в матрицу из длинноцепочечных парафиновых молекул вызывает существенное «разрыхление» стекла; при значительных концентрациях мономера система BX–BM приближается по свойствам к стеклу на основе низкомолекулярных парафинов.

**Активное сопротивление пьезокерамического диска, возбуждаемого на резонансной частоте в стеклах из BM при  $-196^{\circ}$**

Состав смеси	Доза облучения, Мрад	Частота, $M_{Hz}$	$R \cdot 10^3$ , ом
BM	0	1,54	3,7
	0,61	1,54	4,0
	1,13	1,54	4,3
	1,13	1,54	3,7 *
$\cdot$ BM + 6 вес. % BX	0	1,54	3,1
	0,52	1,54	4,0
	1,08	1,54	4,8
	1,55	1,54	5,0
	1,55	1,54	4,5 **
	0	5,0	4,0
	4,04	5,0	5,0
	1,04	5,0	5,0 ***
То же + 0,2% бутадиена	0	1,54	2,8
	1,04	1,54	2,9
2,2-Диметилбутан — изопентан 1 : 2 (об.)	0	1,54	1,2
	0	1,54	1,2
То же и 6 вес. % BX	0,52	1,54	1,2

\* После разогрева до комнатной температуры и последующего охлаждения до  $-196^{\circ}$ .

\*\* После разогрева до комнатной температуры и последующего охлаждения до  $-196^{\circ}$ ; некоторое уменьшение величины  $R$  по сравнению с  $R$  облученного стекла связано с выпадением части полимера в осадок.

\*\*\* После разогрева до  $T_c(-90^{\circ})$  и последующего охлаждения до  $-196^{\circ}$ .

Результаты многочисленных исследований свидетельствуют о том, что жидкости, образованные асимметричными молекулами, в определенной области температур имеют микрогетерогенное строение и содержат области упорядоченной структуры [13–15], например «пачки» в полимерных жидкостях [8]. Время существования таких областей определяется вязкостью жидкости; при стекловании происходит стабилизация надмолекулярной структуры жидкости. В вязких жидкостях, содержащих области упорядоченного расположения молекул, наблюдается аномальная зависимость скорости звука от температуры, обусловленная обменом дефектами («дырками») между этими областями и неупорядоченной средой [14]. В интервале температур, где время перехода τ дефекта из упорядоченной области в среду равно  $1/\omega$  ( $\omega$  — частота ультразвуковых колебаний), происходит сильное изменение скорости звука [14]. Как видно из рис. 2, кривые, определяющие зависимость  $C$  в BM и в смеси BM–BX от температуры, имеют характерную для вязких жидкостей S-образную форму. Прямые на рисунках представляют собой предельные значения скорости звука  $C_0$  при  $\omega t \ll 1$  (кривые 3), когда за период колебаний успевает установиться полное равновесие между упорядоченными областями и средой, и  $C_\infty$  при  $\omega t \gg 1$  (кривые 2), когда за период колебаний сколько-нибудь существенного перемещения дефектов в системе не происходит. Как и во всех изученных микрогетерогенных средах,  $C_\infty$  зависит от температуры сильнее, чем  $C_0$  [14]. Точка пересечения прямых  $C_\infty - T$  и  $C_0 - T$  определяет характерную для данной системы  $T_{kp}$ , при которой исчезают упорядоченные области; одновременно с исчезновением таких областей должен

обращаться в нуль модуль сдвига жидкости [14]. Для чистого ВМ по нашим данным  $T_{kp}=45^\circ$ . Оценка  $T_{kp}$  парафинового масла на основании измерений высокочастотного модуля сдвига, проведенных в работе [16], приводит к той же величине. Для смеси ВМ–ВХ, содержащей 6% мономера,  $T_{kp}=-20^\circ$ . Зная  $T_{kp}$ , можно оценить изменение энергии  $\Delta U$  при образовании упорядоченной области из неупорядоченных молекул матрицы. Как указано в работе [14],  $\Delta U \approx k(273+T_{kp})$ . Тогда при данной температуре доля молекул в неупорядоченной среде  $X_T \approx e^{-(273+T)/(273+T_{kp})}$ . В момент стеклования, когда фиксируется структура жидкости,  $X_{-85^\circ}$  для ВМ составляет  $\approx 0,18$ , а  $X_{-85^\circ}$  для смеси ВМ–ВХ  $\approx 0,24$ . Таким образом, добавление к длинноцепочечным парафинам даже очень малых количеств низкомолекулярного компонента приводит к существенному разрушению упорядоченных областей.

Полученные экспериментальные данные позволяют рассмотреть вероятный механизм радиационной полимеризации ВХ в ВМ при  $-196^\circ$ . Как

уже указывалось выше, разогрев облученного стекла выше  $T_c$  с последующим охлаждением до  $-196^\circ$  не приводит к заметному изменению волнового сопротивления стекла; вместе с тем при  $T_c$  протекает интенсивная пост-полимеризация ВХ [6]. Вероятнее всего, низкотемпературная радиационная полимеризация и пост-полимеризация вблизи  $T_c$  развиваются в разных участках микрогетерогенной системы. Поверхности раздела между упорядоченными и неупорядоченными областями стекла представляют собой протяженные дефекты структуры аналогично границам зерен в поликристаллическом материале. При охлаждении стекла вблизи таких дефектов возникают значительные напряжения, поскольку коэффициенты термического расширения упорядоченных и неупорядоченных фаз стекла различны. В результате поверхности раздела между участками стекла с различной структурой превращаются в микротрешины [17]. Полимеризация под облучением при  $-196^\circ$ , вероятнее всего, развивается в микротрешинах на границе между упорядоченными участками типа «пачек» и неупорядоченной средой. Внутри дефектов такого типа резко возрастает подвижность молекул мономера и, кроме того, с большой вероятностью происходит превращение энергии излучения в энергию теплового движения молекул [18, 19]. Следует отметить также, что перемещение молекул мономера на границах «пачек» с окружающей средой не является хаотическим, а определяется ориентацией парафиновых цепей в «пачке». Таким образом, в матрице из длинноцепочечных парафинов создаются исключительно благоприятные условия для роста полимерных цепей; полимеризация в такой матрице аналогична полимеризации в канальных комплексах [20] или слоевых соединениях включения [21].

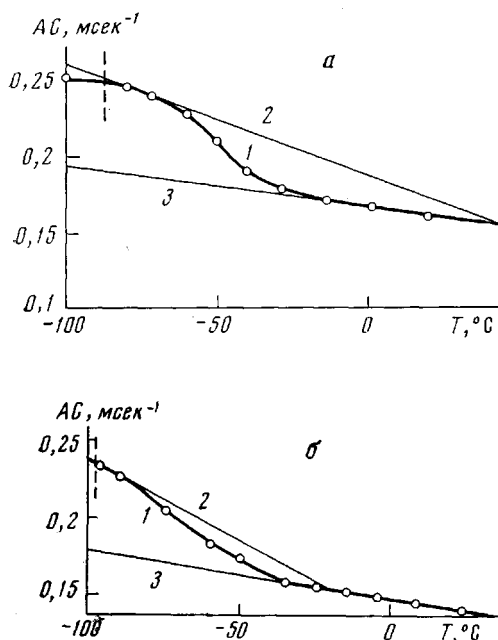


Рис. 2. Зависимость скорости звука  $C$  от температуры в ВМ (а) и в смеси ВМ–ВХ (б):

1 — экспериментальные данные, 2 — предельные значения  $C$  при высоких и 3 — при низких частотах, вычисленные по методу [14];  $A$  — постоянная прибора, равная расстоянию между излучателем и приемником ультразвуковых волн; пунктир —  $T_c$

ции под облучением при  $-196^\circ$ , вероятнее всего, развивается в микротрешинах на границе между упорядоченными участками типа «пачек» и неупорядоченной средой. Внутри дефектов такого типа резко возрастает подвижность молекул мономера и, кроме того, с большой вероятностью происходит превращение энергии излучения в энергию теплового движения молекул [18, 19]. Следует отметить также, что перемещение молекул мономера на границах «пачек» с окружающей средой не является хаотическим, а определяется ориентацией парафиновых цепей в «пачке». Таким образом, в матрице из длинноцепочечных парафинов создаются исключительно благоприятные условия для роста полимерных цепей; полимеризация в такой матрице аналогична полимеризации в канальных комплексах [20] или слоевых соединениях включения [21].

Предложенная схема хорошо объясняет полученные экспериментальные данные. Увеличение концентрации мономера приводит к уменьшению числа и размера упорядоченных областей и постепенному исчезновению протяженных дефектов структуры; соответственно уменьшается скорость полимеризации. В стекле из низкомолекулярных парафинов дефекты хаотически распределены в виде отдельных «дырок» по всему объему системы; поэтому полимеризация вообще не протекает. В микрогетерогенном стекле на основе длинноцепочечных парафинов силы межмолекулярного взаимодействия в «пачках» и неупорядоченной среде значительно больше, чем в микротрецинах на границах между «пачками» и средой (например, [17]). Вследствие этого  $C \sim 1/\beta_{\text{деф}}$ , где  $\beta_{\text{деф}}$  — сжимаемость протяженных дефектов стекла. Таким образом, на  $C$  и  $r$  стекла влияют почти исключительно процессы, происходящие на границах «пачек», в частности, низкотемпературная радиационная полимеризация. Вблизи  $T_c$  начинается рост полимерных цепей внутри упорядоченных и неупорядоченных областей стекла, но  $r$  стекла при этом практически не меняется. Согласно нашим данным, облучение чистого ВМ при  $-196^\circ$  также приводит к незначительному увеличению  $R$  излучателя ультразвуковых волн (таблица) и, следовательно,  $r$  стекла. Вероятнее всего, увеличение  $r$  обусловлено рекомбинацией радикалов в области протяженных дефектов стекла. Рекомбинация радикалов при  $-196^\circ$  в облученной системе полимерных молекул была обнаружена методом ЭПР [22]. Характерно, что после плавления и повторного замораживания  $R$  облученного ВМ становится равным  $R$  исходного стекла ВМ (таблица). Продукты, образующиеся при рекомбинации радикалов в ВМ, не отличаются от других длинноцепочечных парафинов и легко растворяются в ВМ после размягчения стекла; поэтому связи между «пачками» парафиновых молекул и окружающей средой нарушаются при повторном стекловании облученного ВМ. В облученном стекле, содержащем мономер, «пачки» молекул матрицы связаны с неупорядоченными областями стекла цепями полихлорвинала, которые не смешиваются с парафиновыми молекулами; в результате связи в стекле сохраняются даже после разогрева облученной системы до комнатной температуры (таблица).

Научно-исследовательский  
физико-химический институт  
им. Л. Я. Карпова

Поступила в редакцию  
17 VIII 1972

#### ЛИТЕРАТУРА

1. Y. Amagi, A. Chapiro, J. chim. phys. et phys.-chim. biol., 59, 537, 1962.
2. A. Шапиро, Химия и технол. полимеров, 1964, № 4, 52.
3. Ch. Spritzer, C. Sella, A. Chapiro, Compt. rend., 260, 2789, 1965.
4. A. Dworkin, Europ. Polymer J., 7, 671, 1971.
5. A. Chapiro, D. Roussel, J. Polymer Sci., C16, 3011, 1967.
6. A. Chapiro, Chimia, 21, 454, 1967.
7. Г. Н. Герасимов, Т. М. Сабирова, П. М. Хомиковский, А. Д. Абкин, Докл. АН СССР, 164, 365, 1965.
8. В. А. Карагин, Г. Л. Слонимский, Краткие очерки по физико-химии полимеров, Изд-во МГУ, 1967.
9. Г. Н. Герасимов, А. Д. Смирнов, Т. М. Сабирова, А. Д. Абкин, Высокомолек. соед., Б11, 636, 1969.
10. Л. Бергерман, Ультразвук и его применение в науке и технике, Изд-во иностр. лит., 1957.
11. И. Г. Михайлов, Докл. АН СССР, 59, 1555, 1948.
12. И. Г. Михайлов, Л. А. Шагалова, Докл. АН СССР, 89, 829, 1953.
13. A. K. Ubbelohde, Pure Appl. Chem., 13, 251, 1961.
14. M. A. Исакович, И. А. Чабан, Ж. экспер. и теорет. физики, 50, 1343, 1966.
15. И. А. Чабан, Ж. экспер. и теорет. физики, 53, 556, 1967.
16. A. J. Barlow, A. Erginsav, J. Lamb, Proc. Roy Soc., A309, 473, 1969.
17. Г. К. Демишев, Сб. Стеклообразное состояние, «Наука», 1965, стр. 413.
18. Е. И. Финкельштейн, Высокомолек. соед., Б11, 339, 1969.
19. C. H. Bamford, A. Bibby, G. C. Eastmond, Polymer, 9, 653, 1968.
20. D. M. White, J. Amer. Chem. Soc., 82, 5678, 1960.
21. A. Blumstein, A. C. Watterson, J. Polymer Sci., B6, 69, 1968.
22. F. Szöcs, J. Becht, H. Fischer, Europ. Polymer J., 7, 173, 1971.